

Implementing a Method for Stochastization of One-Step Processes in a Computer Algebra System

M. N. Gevorkyan,^{1,*} A. V. Demidova,^{1,†} T. R. Velieva,^{1,‡} A. V. Korolkova,^{1,§} D. S. Kulyabov,^{1,2,¶} and L. A. Sevastianov^{1,3,**}

¹*Department of Applied Probability and Informatics,
Peoples' Friendship University of Russia (RUDN University),
6 Miklukho-Maklaya str., Moscow, 117198, Russia*

²*Laboratory of Information Technologies
Joint Institute for Nuclear Research
6 Joliot-Curie, Dubna, Moscow region, 141980, Russia*

³*Bogoliubov Laboratory of Theoretical Physics
Joint Institute for Nuclear Research
6 Joliot-Curie, Dubna, Moscow region, 141980, Russia*

When modeling such phenomena as population dynamics, controllable flows, etc., a problem arises of adapting the existing models to a phenomenon under study. For this purpose, we propose to derive new models from the first principles by stochastization of one-step processes. Research can be represented as an iterative process that consists in obtaining a model and its further refinement. The number of such iterations can be extremely large. This work is aimed at software implementation (by means of computer algebra) of a method for stochastization of one-step processes. As a basis of the software implementation, we use the SymPy computer algebra system. Based on a developed algorithm, we derive stochastic differential equations and their interaction schemes. The operation of the program is demonstrated on the Verhulst and Lotka–Volterra models.

I. INTRODUCTION

Many physical and technical phenomena can be described in the framework of the statistical approach. Usually, a model is selected that is sufficiently complete to reflect a phenomenon under study, and then this model is refined. A question arises as to how this refinement should be carried out, because this process is quite ambiguous. Models implement certain first principles. We believe that, if a model is constructed based on the first principles, then introduced modifications will express the internal structure of the model. To describe phenomena under study (data communication networks, control systems, and population dynamics), we use the model of one-step processes [1, 2].

We developed a stochastization technique that, based on the first principles, yields a stochastic model and a deterministic model corresponding to it [3–7]. Research process is iterative: from a deterministic model, we obtain a primary model, from which we obtain a stochastic model that correlates with a deterministic model, and based on this correlation, we obtain a refined primary model. Then, the process repeats.

Stochastization formalism can be implemented in different ways. Currently, we use a state vectors representation

(combinatorial approach) and an occupation numbers representation (operator approach) [8–11].

In the case of the combinatorial approach, all operations are carried out in the state-vector space of a system. During all model manipulations, we deal with a particular system. As a result, we obtain a description in the form of a differential equation. This approach is convenient when designing a model because it enables comparison with other models.

In the operator approach, we abstract ourselves from a particular implementation of a system under study and deal with abstract operators. The space of state vectors is used only at the end of computations. Moreover, a particular operator algebra is selected based on the symmetry of a problem. This approach is convenient for theoretical constructions.

Often, it is required to find a stochastic model equivalent to a previously designed deterministic model. For this purpose, we use the combinatorial approach. In this representation, the stochastic model has the form of a differential equation, which facilitates its comparison with the original model.

This paper is organized as follows. Section II introduces basic notations and conventions. A method for stochastization of one-step processes, as well as its components, is described in Section III. Section IV describes a software complex that implements the stochastization method. In Subsection IV A, we compare some computer algebra systems to select a basis for the software implementation. Subsection IV B considers the main code fragments of the stochastization program. Practical application of the method is demonstrated in Subsections IV C and IV D.

* gevorkyan_mn@rudn.university

† demidova_av@rudn.university

‡ trvelieva@gmail.com

§ korolkova_av@rudn.university

¶ kulyabov_ds@rudn.university

** sevastianov_la@rudn.university

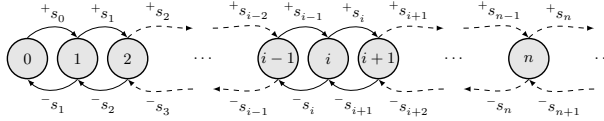


Figure 1. One-step process

II. NOTATIONS AND CONVENTIONS

1. For tensors, we use the abstract index notation [12], i.e., a tensor as a whole is denoted by a simple superscript (e.g., x^i), while tensor components are denoted by underlined superscripts (e.g., \underline{x}^i).
2. We adhere to the following conventions. Latin indices from the middle of the alphabet (i , j , and k) are associated with the state-vector space of a system. Latin indices from the beginning of the alphabet (a) are associated with the Wiener-process space. Greek indices (α) denote a number of different interactions in kinetic equations.

III. GENERAL REVIEW OF THE METHODOLOGY

We developed an empirical technique for stochastization of one-step processes. It is formalized in such a way that, to use this technique, it is sufficient that the initial problem be represented as a Markov process. However, only some of its steps are explicitly algorithmized.

At the first step, the model is reduced to a one-step process (see Fig. 1). Then, this process needs to be represented in the form of interaction schemes [5, 13]. Analogs of interaction schemes are equations of chemical kinetics, particle response, etc.

For interaction schemes, we developed an algorithm (more precisely, a family of algorithms where different algorithms correspond to different approaches) that derives the master equation from interaction schemes. This equation [1, 2], however, usually has a fairly complex structure, which hinders its solution and investigation. At the next step, we obtain approximate models in the form of the Fokker–Planck and Langevin equations.

The proposed approach assumes that research is an iterative process: approximate models are refined, leading to the refinement of the original interaction schemes.

To construct models, we use the following iterative algorithm (algorithm 1).

Unfortunately, the most part of this algorithm is not formalized. Derivation of interaction schemes and determination of correspondence between equations are quite difficult to formalize. And yet, we managed to formalize the derivation of stochastic equations from interaction schemes (see algorithms 2 and 3).

This process is not complex but it is rather time-consuming. Below, we describe its main stages in more

Data: deterministic equation

Result: stochastic equation

while correspondence between equations isn't established

do

interaction scheme \leftarrow deterministic equation ;

stochastic equation \leftarrow interaction scheme;

if stochastic equation satisfies the model **then**

| terminate stochastization;

else

| reiterate;

end

end

Algorithm 1: Algorithm of research

Data: interaction scheme (1)

Result: Langevin equation (12) and (13)

begin

System state operators

$I_j^{i\alpha}, F_j^{i\alpha} \leftarrow$ interaction scheme (1);

State transition operator

$r_j^{i\alpha} \leftarrow I_j^{i\alpha}, F_j^{i\alpha}$ (2);

Transition rates

${}^+s_{\underline{\alpha}}, {}^-s_{\underline{\alpha}} \leftarrow I_j^{i\alpha}, F_j^{i\alpha}, r_j^{i\alpha}$ (7);

master equation $\leftarrow {}^+s_{\underline{\alpha}}, {}^-s_{\underline{\alpha}}, r_j^{i\alpha}$ (6) ;

Fokker–Planck equation \leftarrow master equation (8), (9) ;
Langevin equation \leftarrow Fokker–Planck equation (12),
(13) ;

end

Algorithm 2: Stochastization algorithm

details.

A. Interaction Schemes

The state of a system is described by a state vector $\varphi^i \in \mathbb{R}^n$, where n is the dimension of the system. The operators $I_j^i \in \mathbb{N}_0^n \times \mathbb{N}_0^n$ and $F_j^i \in \mathbb{N}_0^n \times \mathbb{N}_0^n$ define the system state before and after interaction, respectively. The component indices of the system dimension take the values $i, j = \overline{1, n}$. As a result of interaction, the system transits from one state to another.

There are s types of different interactions in the system. Hence, instead of the operators I_j^i and F_j^i , we consider the

Data: interaction scheme (1)

Result: Langevin equation (12) and (13)

begin

System state operators

$I_j^{i\alpha}, F_j^{i\alpha} \leftarrow$ interaction scheme (1);

State transition operator

$r_j^{i\alpha} \leftarrow I_j^{i\alpha}, F_j^{i\alpha}$ (2);

Transition rates

${}_{fp}s_{\underline{\alpha}}, {}_{fp}s_{\underline{\alpha}} \leftarrow I_j^{i\alpha}, F_j^{i\alpha}, r_j^{i\alpha}$ (11);

Langevin equation $\leftarrow {}_{fp}s_{\underline{\alpha}}, {}_{fp}s_{\underline{\alpha}}, r_j^{i\alpha}$ (12), (13) ;

end

Algorithm 3: Simplified stochastization algorithm

operators $I_j^{i\alpha} \in \mathbb{N}_0^n \times \mathbb{N}_0^n \times \mathbb{N}_+^s$ and $F_j^{i\alpha} \in \mathbb{N}_0^n \times \mathbb{N}_0^n \times \mathbb{N}_+^s$. The component indices for the number of interactions take the values $\underline{\alpha} = \overline{1, s}$.

Interaction among system elements is described by interaction schemes.

$$I_j^{i\underline{\alpha}} \varphi^j \xrightleftharpoons[-k_{\underline{\alpha}}]{+k_{\underline{\alpha}}} F_j^{i\underline{\alpha}} \varphi^j, \quad \underline{\alpha} = \overline{1, s}. \quad (1)$$

Here, Greek indices specify the number of interactions and Latin indices denote the dimension of the system. The coefficients $+k_{\underline{\alpha}}$ and $-k_{\underline{\alpha}}$ represent the intensity (rate) of interaction.

The state of the system is given by the operator

$$r_j^{i\underline{\alpha}} = F_j^{i\underline{\alpha}} - I_j^{i\underline{\alpha}}. \quad (2)$$

Thus, one interaction step $\underline{\alpha}$ in the forward and backward directions can be represented (respectively) as

$$\begin{aligned} \varphi^i &\rightarrow \varphi^i + r_j^{i\underline{\alpha}} \varphi^j, \\ \varphi^i &\rightarrow \varphi^i - r_j^{i\underline{\alpha}} \varphi^j. \end{aligned}$$

Most often, the model is constructed in such a way that the tensors $I_j^{i\underline{\alpha}}$ and $F_j^{i\underline{\alpha}}$ are diagonal in terms of Latin indices. Hence, we can explicitly use the diagonal sections of these matrices and rewrite (1) in a more common form (as a system of linear equations) [2]:

$$I_j^{i\underline{\alpha}} \varphi^j \delta_i \xrightleftharpoons[-k_{\underline{\alpha}}]{+k_{\underline{\alpha}}} F_j^{i\underline{\alpha}} \varphi^j \delta_i, \quad (3)$$

where $\delta_i = (1, \dots, 1)$.

We also use the following designations:

$$I_j^{i\underline{\alpha}} := I_j^{i\underline{\alpha}} \delta^j, \quad F_j^{i\underline{\alpha}} := F_j^{i\underline{\alpha}} \delta^j, \quad r_j^{i\underline{\alpha}} := r_j^{i\underline{\alpha}} \delta^j. \quad (4)$$

B. Master Equation

For one-step processes, as a kinetic equation, we consider the master equation [1, 2].

$$\frac{\partial p(\varphi_2, t_2 | \varphi_1, t_1)}{\partial t} = \int [w(\varphi_2 | \psi, t_2) p(\psi, t_2 | \varphi_1, t_1) - w(\psi | \varphi_2, t_2) p(\varphi_2, t_2 | \varphi_1, t_1)] d\psi,$$

where $w(\varphi | \psi, t)$ is the probability of transition from state ψ to state φ in a unit time.

The master equation can be regarded as an implementation of the Kolmogorov equation. However, the master equation is more convenient and has a direct physical interpretation [2].

Having fixed the initial values φ_1, t_1 , we can write this equation for a subensemble:

$$\frac{\partial p(\varphi, t)}{\partial t} = \int [w(\varphi | \psi, t) p(\psi, t) - w(\psi | \varphi, t) p(\varphi, t)] d\psi. \quad (5)$$

If a domain of φ is a discrete one then the (5) can be written as follows (the states are numbered by n and m):

$$\frac{\partial p_n(t)}{\partial t} = \sum_m [w_{nm} p_m(t) - w_{mn} p_n(t)],$$

where the p_n is the probability of the system to be in a state n at time t , w_{nm} is the probability of transition from the state m into the state n per unit time.

For a system described by one-step processes, there are two types of transitions from one state to another that occur as a result of interaction among system elements in the forward direction ($\varphi^i + r_j^{i\underline{\alpha}} \varphi^j$) with probability $+s_{\underline{\alpha}}(\varphi^k)$ and in the backward direction ($\varphi^i - r_j^{i\underline{\alpha}} \varphi^j$) with probability $-s_{\underline{\alpha}}(\varphi^k)$ (see Fig. 1). In this case, the transition probability matrix can be written as

$$w_{\underline{\alpha}}(\varphi^i | \psi^i, t) = +s_{\underline{\alpha}} \delta_{\varphi^i, \psi^{i+1}} + -s_{\underline{\alpha}} \delta_{\varphi^i, \psi^{i-1}}, \quad \underline{\alpha} = \overline{1, s},$$

where $\delta_{i,j}$ is the Kronecker delta.

Thus, the general form of master equation (5) for the state vector φ^i , which is modified step by step with the step length $r_j^{i\underline{\alpha}} \varphi^j$, is as follows:

$$\begin{aligned} \frac{\partial p(\varphi^i, t)}{\partial t} = & \sum_{\underline{\alpha}=1}^s \left\{ -s_{\underline{\alpha}}(\varphi^i + r^{i\underline{\alpha}}, t) p(\varphi^i + r^{i\underline{\alpha}}, t) + \right. \\ & + s_{\underline{\alpha}}(\varphi^i - r^{i\underline{\alpha}}, t) p(\varphi^i - r^{i\underline{\alpha}}, t) - \\ & \left. - [+s_{\underline{\alpha}}(\varphi^i) + -s_{\underline{\alpha}}(\varphi^i)] p(\varphi^i, t) \right\}. \quad (6) \end{aligned}$$

The functions $+s_{\underline{\alpha}}$ and $-s_{\underline{\alpha}}$ for Eq. (6) are obtained using the combinatorial approach.

The unit-time transition rates $+s_{\underline{\alpha}}$ and $-s_{\underline{\alpha}}$ are proportional to the number of ways for selecting the number of arrangements from φ^i to $I_j^{i\underline{\alpha}}$ (denoted as $A_{\varphi^i}^{I_j^{i\underline{\alpha}}}$) and from φ^i to $F_j^{i\underline{\alpha}}$ (denoted as $A_{\varphi^i}^{F_j^{i\underline{\alpha}}}$), respectively; these rates are given by the expressions

$$\begin{aligned} +s_{\underline{\alpha}} &= +k_{\underline{\alpha}} \prod_{i=1}^n A_{\varphi^i}^{I_j^{i\underline{\alpha}}} = +k_{\underline{\alpha}} \prod_{i=1}^n \frac{\varphi^i!}{(\varphi^i - I_j^{i\underline{\alpha}})!}, \\ -s_{\underline{\alpha}} &= -k_{\underline{\alpha}} \prod_{i=1}^n A_{\varphi^i}^{F_j^{i\underline{\alpha}}} = -k_{\underline{\alpha}} \prod_{i=1}^n \frac{\varphi^i!}{(\varphi^i - F_j^{i\underline{\alpha}})!}. \end{aligned} \quad (7)$$

C. Fokker–Planck Equation

The Fokker–Planck equation is a special case of the master equation and can be regarded as its approximate form. It can be derived by expanding the master equation in a series up to the second-order terms inclusive. For this purpose, we can use the Kramers–Moyal expansion [1] (for simplicity, it is written for a one-dimensional case):

$$\frac{\partial p(\varphi, t)}{\partial t} = \sum_{n=1}^{\infty} \frac{(-1)^n}{n!} \frac{\partial^n}{\partial \varphi^n} [\xi^n(\varphi) p(\varphi, t)], \quad (8)$$

where

$$\xi^n(\varphi) = \int_{-\infty}^{\infty} (\psi - \varphi)^n w(\psi|\varphi) d\psi.$$

By dropping the terms of the order higher than the second, we obtain the Fokker–Planck equation

$$\frac{\partial p(\varphi, t)}{\partial t} = -\frac{\partial}{\partial \varphi} [A(\varphi)p(\varphi, t)] + \frac{\partial^2}{\partial \varphi^2} [B(\varphi)p(\varphi, t)],$$

or, in a multidimensional case,

$$\begin{aligned} \frac{\partial p(\varphi^k, t)}{\partial t} = & -\frac{\partial}{\partial \varphi^i} [A^i(\varphi^k)p(\varphi^k, t)] + \\ & + \frac{1}{2} \frac{\partial^2}{\partial \varphi^i \partial \varphi^j} [B^{ij}(\varphi^k)p(\varphi^k, t)], \end{aligned} \quad (9)$$

where

$$\begin{aligned} A^i := A^i(\varphi^k) &= r^{i\alpha} \left[{}_{\text{fp}}^+ s_{\underline{\alpha}} - {}_{\text{fp}}^- s_{\underline{\alpha}} \right], \\ B^{ij} := B^{ij}(\varphi^k) &= r^{i\alpha} r^{j\alpha} \left[{}_{\text{fp}}^+ s_{\underline{\alpha}} - {}_{\text{fp}}^- s_{\underline{\alpha}} \right]. \end{aligned} \quad (10)$$

Using the Kramers–Moyal expansion, in (7), we can replace the combinations of the form $\varphi(\varphi-1)\cdots(\varphi-(n-1))$ by $(\varphi)^n$; as a result, for the Fokker–Planck equation, we obtain

$$\begin{aligned} {}_{\text{fp}}^+ s_{\underline{\alpha}} &= {}^+ k_{\underline{\alpha}} \prod_{i=1}^n (\varphi^i)^{I^{i\underline{\alpha}}}, \\ {}_{\text{fp}}^- s_{\underline{\alpha}} &= {}^- k_{\underline{\alpha}} \prod_{i=1}^n (\varphi^i)^{F^{i\underline{\alpha}}}. \end{aligned} \quad (11)$$

It can be seen from (10) that the coefficients of the Fokker–Planck equation can be derived directly from (2) and (7), i.e., in this case, there is no need to write the master equation.

D. Langevin Equation

The Langevin equation

$$d\varphi^i = a^i dt + b_a^i dW^a, \quad (12)$$

corresponds to the Fokker–Planck equation; here, $a^i := a^i(\varphi^k)$, $b_a^i := b_a^i(\varphi^k)$, $\varphi^i \in \mathbb{R}^n$ is the state vector of the system, and $W^a \in \mathbb{R}^m$ is the m -dimensional Wiener process. The Wiener process is implemented as $dW = \varepsilon \sqrt{dt}$, where $\varepsilon \sim N(0, 1)$ is the normal distribution with mean 0 and variance 1. Here, Latin indices from the middle of the alphabet denote the values associated with state vectors (space dimension is n), while Latin indices from the beginning of the alphabet denote the values associated with the vector of the Wiener process (space dimension is $m \leq n$).

In this case, the coefficients of Eqs. (9) and (12) are related as follows:

$$A^i = a^i, \quad B^{ij} = b_a^i b^{ja}. \quad (13)$$

It can be seen that the second term of the Langevin equation is a square root, which has a complex form in the multidimensional case. Note, however, that it is the squared second term of the Langevin equation that is used in many relationships, which is why there is usually no need to compute the root explicitly.

IV. IMPLEMENTING THE MODEL OF ONE-STEP STOCHASTIC PROCESSES IN A COMPUTER ALGEBRA SYSTEM

A. Justifying the Selection of a Computer Algebra System

To implement the algorithms considered above, we had to solve a problem of selecting a computer algebra system. Our requirements quite correspond to the requirements for a universal computer algebra system; however, the spectrum of such systems is fairly wide. So, our selection criteria were as follows:

- the system must be freeware (namely, open source system); this is our *profession de foi*;
- the system must be interactive and support the read–eval–print loop (REPL) paradigm;
- it is desirable that the system be supported and improved by a community of developers: it makes no sense to create a product in a language that may soon turn out to be dead;
- symbolic computations constitute only one stage of the method, and the equations derived also need to be investigated, most often, by numerical methods; therefore, the system must support various output formats and, even better, provide seamless integration of a target system with other software products;
- it is also desirable that the system enable implementation of numerical methods.

There are not so many universal open source computer algebra systems. Let us consider several main candidates.

Maxima [14, 15] is a classical system that, however, stopped in its development at the level of the late 1990s. New versions are released often but only to improve stability and correct errors. New capabilities are introduced extremely slow. Moreover, the interaction with other programs is limited.

Axiom [16, 17] is distinguished for its mathematical approach to computer algebra. This system supports the Hindley–Milner type system [18, 19] and has a powerful internal extension language. However, because of the

unresolved problems with copyright, the system is “in fever.” Several versions of the system originated with each modification having its own plan for development. It is still not clear how and when this situation will end. Moreover, the interoperability of this system is almost zero.

In our opinion, the most promising system is SymPy [20, 21]. This system was originally developed as a symbolic computation library for Python. Quite unexpectedly, Python has become a universal glue language. Its application in various projects caused an explosive growth of related tools and libraries. And SymPy was developing alongside it. Currently, SymPy is quite a powerful computer algebra system. However, most of our criteria are satisfied not by the system itself but by its libraries.

And yet, SymPy seems to satisfy all criteria listed above:

- as an interactive shell, it is convenient to use the Jupyter notebook (which is a component of the iPython system [22]) that supports the REPL paradigm;
- Python is actually used as a glue language that allows one to integrate different software products, while the SciPy library [23] supports many output formats;
- SymPy’s output data can be naturally transferred for numerical computations to the NumPy library [24].

Thus, to implement the method for stochastization of one-step processes, we selected the SymPy system.

B. Software Implementation of the Stochasticization Algorithm

The algorithm for deriving a stochastic differential equation from an interaction scheme (see algorithms 2 and 3) is implemented as a sequence of operations on vector data. The initial data (interaction schemes) are represented as follows:

- a symbolic vector X represents the state vector φ ;
- a symbolic vector K represents the interaction rates ${}^+s_\alpha$ and ${}^-s_\alpha$ (1);
- numerical matrices I and F represent the initial and final states in formula (4).

Main computations are carried out by four functions. The first function simply finds the element $\frac{\varphi^i!}{(\varphi^i - I^i \alpha)!}$ from formula (7):

```
def P(x, n):
    """x is a symbol, n is an integer"""
    return sp.prod([x-i for i in range(n)])
```

The second function uses the first one to compute ${}^+s_\alpha$ and ${}^-s_\alpha$; this function receives symbolic vectors $X = (x^1, x^2, \dots, x^n)^T$ and $K = ({}^-k_1, \dots, {}^-k_s)$ as its arguments and returns (as a result) a list $[{}^+s_1, \dots, {}^+s_s]$ (the code is presented only for forward reactions):

```
def S(X, K, I):
    res = []
    for i in range(len(K)):
        # Compute the elements of the product
        Ps = [P(x, int(n)) for (x, n) in zip(X, I[i, :])]
        # Find the product itself
        res.append(K[i]* sp.prod(Ps))
    # Obtain the list [s_1, s_2, s_3, ..., s_s]
    return res
```

The following are the main functions of the algorithm: `drift_vector(X, K, I, F)` yields a drift vector and `diffusion_matrix(X, K, I, F)` yields a diffusion matrix (in the *SymPy* symbolic format).

```
def drift_vector(X, K, I, F):
    """Drift vector"""
    res = sp.zeros(r=len(X), c=1)
    R = F.T - I.T
    for i in range(len(K)):
        res += R[:, i] * S(X, K, I)[i]
    return res

def diffusion_matrix(X, K, I, F):
    """Diffusion matrix"""
    res = sp.zeros(r=len(X), c=len(X))
    R = F.T - I.T
    R = sp.Matrix(R)
    for i in range(len(K)):
        res += R[:, i] * R[:, i].T * S(X, K, I)[i]
    return res
```

The output data of the program can be exported in the *LATEX* format by using built-in methods that allow A^i and B^{ij} to be translated into the *LATEX* code. For this purpose, it is sufficient to call the combination of functions `print(sympy.latex(A))`, where the variable A contains the result of the function `drift_vector` and the function `latex()` exports it into the *LATEX* code.

When using the *Jupyter* interactive shell, the correct display of the *TeX* notation needs to be pretuned. For this purpose, it is required to import the `Latex` module at the beginning of the *Jupyter* notebook:

```
from IPython.display import Latex
and then call the function
sympy.init_printing(use_unicode=True)
```

In addition, the expressions obtained can be exported in the format supported by a wide spectrum of programming languages, including universal (*C/C++*, *Fortran*) and domain-specific (*Mathematica*, *Julia*) languages. These functions are available as methods of the `sympy.printing` class. For example, the following code yields a *C++* function `vector<double> f(vector<double> x):`

```
print("""vector<double> f(vector<double> x) {{
    vector<double> res = {{ 0 }};
    return res;
}}""".format(" ".join([sp.printing.ccode(f) for
    f in f])))
```

C. Implementation Example: Verhulst Model

For demonstration of the method, let us consider the Verhulst model [25–27]. In population dynamics, this model describes limited population growth.

The deterministic model has the form

$$\dot{\varphi} = \lambda\varphi - \beta\varphi - \gamma\varphi^2, \quad (14)$$

where λ is the reproduction rate, β is the death rate, and γ is the population decline rate.

Based on (14), we write interaction scheme (3):

$$\begin{aligned} \varphi &\xrightarrow{\frac{\lambda}{\gamma}} 2\varphi, \\ 0 &\xleftarrow{\beta} \varphi. \end{aligned} \quad (15)$$

Here, the first direct relationship (15) means reproduction of an individual, the first backward relationship means conflict between individuals, and the second backward relationship means death of an individual.

This model is one-dimensional ($n = 1$). The number of interactions is $s = 2$.

Based on (15), we write the matrices $I^{i\underline{\alpha}}$ and $F^{i\underline{\alpha}}$:

$$I^{i\underline{\alpha}} = \begin{pmatrix} 1 \\ 1 \end{pmatrix}, \quad F^{i\underline{\alpha}} = \begin{pmatrix} 2 \\ 0 \end{pmatrix}.$$

The following data are inputted to the program:

```
I = sp.Matrix([[1], [1]])
F = sp.Matrix([[2], [0]])
X = sp.Matrix(['phi'])
K = sp.Matrix(['k_{0}'.format(i+1) for i in range(2)])
```

Since the problem has one dimension, the drift vector and the diffusion matrix are scalars:

$$\begin{aligned} A(\varphi) &= \lambda\varphi - \beta\varphi - \gamma\varphi^2, \\ B(\varphi) &= \lambda\varphi + \beta\varphi - \gamma\varphi^2. \end{aligned}$$

The stochastic differential equation corresponding to Eq. (14) has the form

$$d\varphi(t) = (\lambda\varphi - \beta\varphi - \gamma\varphi^2) dt + \sqrt{(\lambda\varphi + \beta\varphi - \gamma\varphi^2)} dW(t).$$

Thus, our goal is achieved: the model is stochastized. It should be noted that, for manual computations, even this simple one-dimensional model is rather cumbersome.

D. Implementation Example: Predator–Prey Model

Systems that describe interaction between two types of population, predators and preys, are well investigated, and there are many various models for these systems. The model developed (independently of each other) by A. Lotka [28, 29] and V. Volterra [30] is believed to be the first predator–prey model.

The deterministic system can be written as

$$\begin{cases} \dot{x} = k_1x - k_2xy, \\ \dot{y} = k_2xy - k_3y, \end{cases} \quad (16)$$

where x and y are interacting individuals (prey and predator, respectively) and k_1, k_2, k_3 are interaction rates.

The state vector is introduced as $\varphi^i = (x, y)^T$. Based on (16), we write interaction scheme (3):

$$\begin{aligned} x &\xrightarrow{k_1} 2x, \\ x + y &\xrightarrow{k_2} 2y, \\ y &\xrightarrow{k_3} 0. \end{aligned} \quad (17)$$

Scheme (17) has the standard interpretation. The first relationship means that the prey consumes a unit of food to immediately reproduce itself. The second relationship means that the predator eats the prey to immediately reproduce itself; this is the only possibility for prey to die. The last relationship is the only possibility for predator to die.

For this model, the system dimension is $n = 2$ and the number of interactions is $s = 3$.

Based on (17), we write the matrices $I^{i\underline{\alpha}}$ and $F^{i\underline{\alpha}}$:

$$I^{i\underline{\alpha}} = \begin{pmatrix} 1 & 0 \\ 1 & 1 \\ 0 & 1 \end{pmatrix}, \quad F^{i\underline{\alpha}} = \begin{pmatrix} 2 & 0 \\ 0 & 2 \\ 0 & 0 \end{pmatrix}.$$

The following data are inputted to the program:

```
I = sp.Matrix([[1, 1, 0], [0, 1, 1]])
F = sp.Matrix([[2, 0, 0], [0, 2, 0]])
X = sp.Matrix(['x', 'y'])
K = sp.Matrix(['k_{0}'.format(i+1) for i in range(3)])
```

As a result, the program computes the drift vector and the diffusion matrix:

$$\begin{aligned} A^i(x, y) &= \begin{pmatrix} k_1x - k_2xy \\ k_2xy - k_3y \end{pmatrix}, \\ B^{i,j}(x, y) &= \begin{pmatrix} k_1x + k_2xy & -k_2xy \\ -k_2xy & k_2xy + k_3y \end{pmatrix}. \end{aligned}$$

These relationships allow us to write the Fokker–Planck equation and the stochastic differential equation corresponding to it. For this purpose, it is sufficient to extract the square root of the matrix $B^{i,j}$:

$$\begin{aligned} d \begin{pmatrix} x \\ y \end{pmatrix} &= \begin{pmatrix} k_1x - k_2xy \\ k_2xy - k_3y \end{pmatrix} dt + b_a^i \begin{pmatrix} dW^1 \\ dW^2 \end{pmatrix}, \\ b_a^i b^j a &= B^{i,j} = \begin{pmatrix} k_1x + k_2xy & -k_2xy \\ -k_2xy & k_2xy + k_3y \end{pmatrix}. \end{aligned} \quad (18)$$

It can be seen that the deterministic part of system (18) coincides with the original system (16). Since the root of a matrix in an analytical form is quite difficult to extract, it would be optimal to investigate this system numerically.

V. CONCLUSION

Research process often has an iterative character. Computational results are estimated based on certain criteria. Computations have to be carried out repeatedly. Computer algebra systems make it possible to automate this process.

In this paper, we have considered the simplest implementation of the algorithm for stochasticization of one-step processes by using interaction schemes. For this purpose, we have analyzed several computer algebra systems based on the proposed criteria. According to these criteria, as a computer algebra system for implementation of the stochasticization method, we have selected the *SymPy* system. Some essential code fragments of the implemented stochasticization method have been presented. The opera-

tion of the software complex has been demonstrated on the Verhulst and Lotka–Volterra models.

For all its seeming simplicity, this software product significantly improves labor productivity of the researcher. Thus, it can be concluded that computer algebra systems, in addition to numerical computation systems, have become a necessary tool for the researcher.

ACKNOWLEDGMENTS

The publication has been prepared with the support of the “RUDN University Program 5-100” and funded by Russian Foundation for Basic Research (RFBR) according to the research project No 16-07-00556.

-
- [1] C. W. Gardiner, Handbook of Stochastic Methods: for Physics, Chemistry and the Natural Sciences, Springer Series in Synergetics, 1985.
 - [2] N. G. van Kampen, Stochastic Processes in Physics and Chemistry, North-Holland Personal Library, Elsevier Science, 2011.
 - [3] A. V. Korolkova, E. G. Eferina, E. B. Laneev, I. A. Gudkova, L. A. Sevastianov, D. S. Kulyabov, Stochasticization Of One-Step Processes In The Occupations Number Representation, Proceedings 30th European Conference on Modelling and Simulation (2016) 698–704 doi: 10.7148/2016-0698.
 - [4] E. G. Eferina, M. Hnatich, A. V. Korolkova, D. S. Kulyabov, L. A. Sevastianov, T. R. Velieva, Diagram Representation for the Stochasticization of Single-Step Processes, in: V. M. Vishnevskiy, K. E. Samouylov, D. V. Kozyrev (Eds.), Distributed Computer and Communication Networks. DCCN 2016. Communications in Computer and Information Science, Vol. 678, Springer, Cham, 2016, pp. 483–497. doi:10.1007/978-3-319-51917-3_42.
 - [5] M. Hnatič, E. G. Eferina, A. V. Korolkova, D. S. Kulyabov, L. A. Sevastyanov, Operator Approach to the Master Equation for the One-Step Process, EPJ Web of Conferences 108 (2015) 58–59. arXiv:1603.02205, doi: 10.1051/epjconf/201610802027.
 - [6] M. N. Gevorkyan, A. V. Demidova, I. S. Zaryadov, R. Sobolewski, A. V. Korolkova, D. S. Kulyabov, L. A. Sevastianov, Approaches to Stochastic Modeling of Wind Turbines, in: K. Varadi, A. Vidovics-Dancs, J. P. Radics, Z. Z. Paprika, P. T. Zwierczyk, P. Horak (Eds.), Proceedings 31st European Conference on Modelling and Simulation, ECMS 2017, European Council for Modelling and Simulation, Budapest, 2017, pp. 622–627.
 - [7] M. N. Gevorkyan, T. R. Velieva, A. V. Korolkova, D. S. Kulyabov, L. A. Sevastyanov, Stochastic Runge–Kutta Software Package for Stochastic Differential Equations, in: Dependability Engineering and Complex Systems, Vol. 470, Springer International Publishing, 2016, pp. 169–179. arXiv:1606.06604, doi:10.1007/978-3-319-39639-2_15.
 - [8] P. Grassberger, M. Scheunert, Fock-Space Methods for Identical Classical Objects, Fortschritte der Physik 28 (10) (1980) 547–578. doi:10.1002/prop.19800281004.
 - [9] U. C. Täuber, Field-Theory Approaches to Nonequilibrium Dynamics, in: Ageing and the Glass Transition, Vol. 716, Springer Berlin Heidelberg, Berlin, Heidelberg, 2005, pp. 295–348. arXiv:0511743, doi:10.1007/3-540-69684-9_7.
 - [10] H.-K. Janssen, U. C. Täuber, The field theory approach to percolation processes, Annals of Physics 315 (1) (2005) 147–192. arXiv:0409670, doi:10.1016/j.aop.2004.09.011.
 - [11] M. Mobilia, I. T. Georgiev, U. C. Täuber, Fluctuations and correlations in lattice models for predator-prey interaction, Physical Review E 73 (4) (2006) 040903. arXiv:0508043, doi:10.1103/PhysRevE.73.040903.
 - [12] R. Penrose, W. Rindler, Spinors and Space-Time: Volume 1, Two-Spinor Calculus and Relativistic Fields, Vol. 1, Cambridge University Press, 1987.
 - [13] A. V. Demidova, A. V. Korolkova, D. S. Kulyabov, L. A. Sevastyanov, The Method of Constructing Models of Peer to Peer Protocols, in: 6th International Congress on Ultra Modern Telecommunications and Control Systems and Workshops (ICUMT), IEEE Computer Society, 2015, pp. 557–562. arXiv:1504.00576, doi:10.1109/ICUMT.2014.7002162.
 - [14] D. D. Bainov, S. G. Hristova, Differential Equations with Maxima, Pure and Applied Mathematics, Chapman and Hall/CRC, 2011. doi:10.1201/b10877.
 - [15] T. K. Timberlake, J. W. Mixon, Classical Mechanics with Maxima, Undergraduate Lecture Notes in Physics, Springer New York, New York, NY, 2016. doi:10.1007/978-1-4939-3207-8.
 - [16] R. D. Jenks, R. S. Sutor, AXIOM: The Scientific Computation System, 1992.
 - [17] E. G. Eferina, A. V. Korolkova, M. N. Gevorkyan, D. S. Kulyabov, L. A. Sevastyanov, One-Step Stochastic Processes Simulation Software Package, Bulletin of Peoples’ Friendship University of Russia. Series “Mathematics. Information Sciences. Physics” (3) (2014) 46–59. arXiv:1503.07342.
 - [18] R. Hindley, The Principal Type-Scheme of an Object in Combinatory Logic, Transactions of the American

- Mathematical Society 146 (December) (1969) 29–29.
 doi:10.1090/S0002-9947-1969-0253905-6.
- [19] R. Milner, A Theory of Type Polymorphism in Programming, *Journal of Computer and System Sciences* 17 (3) (1978) 348–375. doi:10.1016/0022-0000(78)90014-4.
- [20] R. Lamy, Instant SymPy Starter, Packt Publishing, 2013.
- [21] E. G. Eferina, D. S. Kulyabov, Implementation of Diagram Technique for Statistical Systems in Sympy, in: 6th International conference “Problems of Mathematical Physics and Mathematical Modelling”, NRNU MEPhI, Moscow, 2017, pp. 125–127.
- [22] F. Perez, B. E. Granger, IPython: A System for Interactive Scientific Computing, *Computing in Science & Engineering* 9 (3) (2007) 21–29. doi:10.1109/MCSE.2007.53.
- [23] T. E. Oliphant, Python for Scientific Computing, *Computing in Science & Engineering* 9 (3) (2007) 10–20. doi:10.1109/MCSE.2007.58.
- [24] T. E. Oliphant, Guide to NumPy, 2nd Edition, CreateSpace Independent Publishing Platform, 2015.
- [25] P. F. Verhulst, Notice sur la loi que la population suit dans son accroissement, Vol. 10, 1838.
- [26] W. Feller, Die Grundlagen der Volterraischen Theorie des Kampfes ums Dasein in wahrscheinlichkeitstheoretischer Behandlung, *Acta Biotheoretica* 5 (1) (1939) 11–40. doi:10.1007/BF01602932.
- [27] W. Feller, On the theory of stochastic processes, with particular reference to applications, *Proceedings of the [First] Berkeley Symposium on Mathematical Statistics and Probability* (1949) 403–432.
- [28] A. J. Lotka, Contribution to the Theory of Periodic Reaction, *The Journal of Physical Chemistry A* 14 (3) (1910) 271–274.
- [29] A. J. Lotka, *Elements of Physical Biology*, Williams and Wilkins Company (1925) 435.
- [30] V. Volterra, Variations and fluctuations of the number of individuals in animal species living together, *Journal du Conseil permanent International pour l' Exploration de la Mer* 3 (1) (1928) 3–51.

Реализация метода стохастизации одношаговых процессов в системе компьютерной алгебры

М. Н. Геворкян,^{1,*} А. В. Демидова,^{1,†} Т. Р. Велиева,^{1,‡} А. В. Королькова,^{1,§} Д. С. Кулябов,^{1,2,¶} и Л. А. Севастьянов^{1,3,**}

¹Кафедра прикладной информатики и теории вероятностей,
Российский университет дружбы народов,

ул. Миклухо-Маклая, д. 6, Москва, Россия, 117198

²Лаборатория информационных технологий,

Объединённый институт ядерных исследований,

ул. Жолио-Кюри 6, Дубна, Московская область, Россия, 141980

³Лаборатория теоретической физики,

Объединённый институт ядерных исследований,

ул. Жолио-Кюри 6, Дубна, Московская область, Россия, 141980

При моделировании таких явлений как популяционная динамика, исследование управляемых потоков и т.д. возникает проблема адаптации существующих моделей под исследуемое явление. Для этого предлагается получать новые модели из первых принципов на основе метода стохастизации одношаговых процессов.. Исследование имеет вид итеративного процесса, заключающегося в получении модели и последующей её корректировке. Количество таких итераций может быть крайне большим. Целью данной работы является разработка программной реализации средствами компьютерной алгебры метода стохастизации одношаговых процессов. В работе предложено использовать систему компьютерной алгебры *SymPy* в качестве основы для программной реализации. На основе разработанного алгоритма показано получение стохастических дифференциальных уравнений их вида схем взаимодействия. Результаты работы программы продемонстрированы на моделях Ферхольста и Лотки–Вольтерры.

I. ВВЕДЕНИЕ

Многие физические и технические явления можно описывать в рамках статистического подхода. Обычно подбирается модель, достаточно полно отражающая изучаемое явление, и в ней вносятся некоторые уточнения. Возникает вопрос, как вносить изменения, поскольку данный процесс не однозначен. Используемые модели являются реализацией некоторых первых принципов. Мы считаем, что если строить модели из первых принципов, то вносимые изменения будут выражать внутреннюю структуру модели. Для описания изучаемых нами явлений (сети передачи данных, системы с управлением, популяционная динамика) мы используем модель одношаговых процессов [1, 2].

Нами разработана методика стохастизации моделей, которая позволяет получать из первых принципов и стохастическую модель, и соответствующую ей детерминистическую [3–7]. Процесс исследования является итеративным: из детерминистической модели мы получаем первичную модель, из первичной модели стохастическую, стохастическая модель соотносится с детерминистической, на основании этого соотнесения мы получает уточненную первичную модель. Далее

процесс повторяется.

Формализм стохастизации может быть реализован разными способами. На данный момент нами применяются представление векторов состояния (комбинаторный подход) и представление чисел заполнения (операторный подход) [8–11].

В случае применения комбинаторного подхода все действия выполняются в пространстве векторов состояния системы. На протяжении всех модельных манипуляций мы имеем дело с конкретной исследуемой системой. В результате получается описание в виде дифференциального уравнения. Этот подход удобен при конструировании модели, поскольку позволяет легко сравнить результат с другими моделями.

В операторном подходе мы отвлекаемся от конкретной реализации исследуемой системы, работая с абстрактными операторами. В пространство векторов состояний мы переходим только в конце вычислений. Кроме того, конкретную операторную алгебру мы выбираем, исходя из симметрии задачи. Этот подход удобен при теоретических построениях.

Зачастую возникает задача нахождения стохастической модели, эквивалентной ранее созданной детерминистической. Для этого мы используем комбинаторный подход. В этом представлении стохастическая модель имеет вид дифференциального уравнения, что облегчает сравнение с исходной моделью.

Структура статьи следующая. В разделе II введены основные обозначения и соглашения. Идеология метода стохастизации одношаговых процессов и его составные части описаны в разделе III. В разделе IV описан программный комплекс, реализующий метод

* gevorkyan_mn@rudn.university

† demidova_av@rudn.university

‡ trvelieva@gmail.com

§ korolkova_av@rudn.university

¶ kulyabov_ds@rudn.university

** sevastianov_la@rudn.university

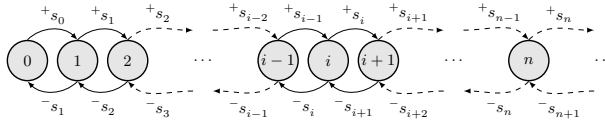


Рис. 1. Одношаговый процесс

стохастизации одношаговых процессов. В разделе IV A проводится сравнение систем компьютерной алгебры и выбор конкретной системы для реализации. В разделе IV B описаны основные фрагменты программы реализации метода. В разделах IV C и IV D приведены примеры конкретного применения метода.

II. ОБОЗНАЧЕНИЯ И СОГЛАШЕНИЯ

1. В работе для тензорных величин используются абстрактные индексы [12], то есть тензор как целостный объект обозначается просто индексом (например, x^i), а компоненты тензора обозначаются подчёркнутым индексом (например, \underline{x}^i).
2. Также будем придерживаться следующих соглашений. Латинские индексы из середины алфавита (i, j, k) будут относиться к пространству векторов состояний системы. Латинские индексы из начала алфавита (a) будут относиться к пространству винеровского процесса. Греческие индексы (α) будут задавать количество разных взаимодействий в кинетических уравнениях.

III. МЕТОДИКА СТОХАСТИЗАЦИИ ДЕТЕРМИНИРОВАННЫХ МОДЕЛЕЙ

Нами разработана эмпирическая методика стохастизации одношаговых процессов. Методика формализована таким образом, что для её применения достаточно сформулировать исходную задачу соответствующим образом. При этом лишь часть шагов явно алгоритмизирована.

Первым шагом мы приводим нашу модель к виду одношагового процесса (см. рис. 1). Далее необходимо формализовать этот процесс в виде схем взаимодействия [5, 13]. Аналогами схем взаимодействия являются уравнения химической кинетики, реакции частиц и т.д.

Для схем взаимодействия создан алгоритм (вернее будет сказать, семейство алгоритмов — для разных подходов разные алгоритмы), позволяющий из схем взаимодействия записать основное кинетическое уравнение. Однако это уравнение [1, 2] имеет обычно достаточно сложную структуру, что затрудняет его исследование и решение. Следующим шагом мы получаем приближённые модели в виде уравнений Фоккера–Планка и Ланжевена.

Предложенный подход подразумевает итеративность исследования: полученные приближённые модели уточняются, что приводит к коррекции исходных схем взаимодействия.

При построении моделей мы работаем по следующему итеративному алгоритму (алгоритм 1).

Исходные параметры: детерминистическое
уравнение

Результат: стохастическое уравнение
до тех пор, пока не получено соответствие
уравнений выполнять

```

схема взаимодействия ← детерминистическое
уравнение ;
стохастическое уравнение ← схема взаимодействия;
если стохастическое уравнение удовлетворяет
модели тогда
| завершить стохастизацию;
иначе
| вернуться к началу;
конец
конец
```

Алгоритм 1: Алгоритм работы исследователя

К сожалению, большая часть этого алгоритма не формализована. Получение схем взаимодействия, определение соответствия уравнений — всё это тяжело формализуемые задачи. Однако проблема формализации получения стохастических уравнений из схем взаимодействия нами решена (алгоритмы 2 и 3).

Исходные параметры: схема взаимодействия (1)

Результат: уравнение Ланжевена (12) и (13)
начало блока

Операторы состояния системы

$I_j^{i\alpha}, F_j^{i\alpha} \leftarrow$ схема взаимодействия (1);

Оператор изменения состояния системы

$r_j^{i\alpha} \leftarrow I_j^{i\alpha}, F_j^{i\alpha}$ (2);

Интенсивности переходов

${}^+s_{\underline{\alpha}}, {}^-s_{\underline{\alpha}} \leftarrow I_j^{i\alpha}, F_j^{i\alpha}, r_j^{i\alpha}$ (7);

основное кинетическое уравнение $\leftarrow {}^+s_{\underline{\alpha}}, {}^-s_{\underline{\alpha}}, r_j^{i\alpha}$

(6) ;

уравнение Фоккера–Планка \leftarrow основное
кинетическое уравнение (8), (9) ;

уравнение Ланжевена \leftarrow уравнение
Фоккера–Планка (12), (13) ;

конец

Алгоритм 2: Алгоритм стохастизации

Процесс этот несложный, но крайне трудоёмкий. Опишем основные этапы этого процесса более подробно.

A. Схемы взаимодействия

Состояние системы будем описывать вектором состояний $\varphi^i \in \mathbb{R}^n$, где n — размерность системы. Оператор $I_j^i \in \mathbb{N}_0^n \times \mathbb{N}_0^n$ задаёт состояние системы до взаимодействия, оператор $F_j^i \in \mathbb{N}_0^n \times \mathbb{N}_0^n$ — после. Компонент-

Исходные параметры: схема взаимодействия (1)

Результат: уравнение Ланжевена (12) и (13)

начало блока

Операторы состояния системы

$I_j^{i\alpha}, F_j^{i\alpha} \leftarrow$ Схема взаимодействия (1);

Оператор изменения состояния системы

$r_j^{i\alpha} \leftarrow I_j^{i\alpha}, F_j^{i\alpha}$ (2);

Интенсивности переходов

${}^+ s_{\underline{\alpha}}, {}^- s_{\underline{\alpha}} \leftarrow I_j^{i\alpha}, F_j^{i\alpha}, r_j^{i\alpha}$ (11);

уравнение Ланжевена $\leftarrow {}^+ s_{\underline{\alpha}}, {}^- s_{\underline{\alpha}}, r_j^{i\alpha}$ (12), (13);

конец

Алгоритм 3: Упрощённый алгоритм стохастизации

ные индексы размерности системы пробегают значения $i, j = \overline{1, n}$. В результате взаимодействия происходит переход системы в другое состояние.

В системе может происходить s видов различных взаимодействий. Поэтому вместо операторов I_j^i и F_j^i будем рассматривать операторы $I_j^{i\alpha} \in \mathbb{N}_0^n \times \mathbb{N}_0^n \times \mathbb{N}_+^s$ и $F_j^{i\alpha} \in \mathbb{N}_0^n \times \mathbb{N}_0^n \times \mathbb{N}_+^s$. Компонентные индексы количества взаимодействий пробегают значения $\underline{\alpha} = \overline{1, s}$.

Взаимодействие элементов системы описывается с помощью схем взаимодействия.

$$I_j^{i\alpha} \varphi^j \xrightleftharpoons[-k_{\underline{\alpha}}]{} F_j^{i\alpha} \varphi^j, \quad \underline{\alpha} = \overline{1, s}. \quad (1)$$

Здесь греческие индексы задают количество взаимодействий, а латинские — размерность системы. Коэффициенты $+k_{\underline{\alpha}}$ и $-k_{\underline{\alpha}}$ имеют смысл интенсивности (скорости) взаимодействия.

Изменение состояния будет задаваться оператором

$$r_j^{i\alpha} = F_j^{i\alpha} - I_j^{i\alpha}. \quad (2)$$

Таким образом, один шаг взаимодействия $\underline{\alpha}$ в прямом и обратном направлениях можно записать соответственно как

$$\varphi^i \rightarrow \varphi^i + r_j^{i\alpha} \varphi^j,$$

$$\varphi^i \rightarrow \varphi^i - r_j^{i\alpha} \varphi^j.$$

Чаще всего модель строится таким образом, что тензоры $I_j^{i\alpha}$ и $F_j^{i\alpha}$ диагональны по латинским индексам. Поэтому мы можем явно использовать диагональные сечения этих матриц и записывать (1) не в виде векторных уравнений, а в виде более традиционных сумм [2]:

$$I_j^{i\alpha} \varphi^j \delta_i \xrightleftharpoons[-k_{\underline{\alpha}}]{} F_j^{i\alpha} \varphi^j \delta_i, \quad (3)$$

где $\delta_i = (1, \dots, 1)$.

Также мы будем использовать следующие обозначения:

$$I_j^{i\underline{\alpha}} := I_j^{i\alpha} \delta^{\underline{\alpha}}, \quad F_j^{i\underline{\alpha}} := F_j^{i\alpha} \delta^{\underline{\alpha}}, \quad r_j^{i\underline{\alpha}} := r_j^{i\alpha} \delta^{\underline{\alpha}}. \quad (4)$$

B. Основное кинетическое уравнение

Для одношаговых процессов в качестве кинетического уравнения рассматривается основное кинетическое уравнение [1, 2].

$$\frac{\partial p(\varphi_2, t_2 | \varphi_1, t_1)}{\partial t} = \int [w(\varphi_2 | \psi, t_2) p(\psi, t_2 | \varphi_1, t_1) - w(\psi | \varphi_2, t_2) p(\varphi_2, t_2 | \varphi_1, t_1)] d\psi,$$

где $w(\varphi | \psi, t)$ — вероятность перехода из состояния ψ в состояние φ за единицу времени.

Основное кинетическое уравнение можно рассматривать как реализацию уравнения Колмогорова. Однако основное кинетическое уравнение более удобно и имеет непосредственную физическую интерпретацию [2].

Зафиксировав начальные значения φ_1, t_1 , можно записать данное уравнение для подансамбля:

$$\frac{\partial p(\varphi, t)}{\partial t} = \int [w(\varphi | \psi, t) p(\psi, t) - w(\psi | \varphi, t) p(\varphi, t)] d\psi. \quad (5)$$

При дискретной области определения множества состояний системы φ можно записать (5) (пронумеровав состояния числами n и m):

$$\frac{\partial p_n(t)}{\partial t} = \sum_m [w_{nm} p_m(t) - w_{mn} p_n(t)],$$

где p_n — вероятность нахождения системы в состоянии n в момент времени t , w_{nm} — вероятность перехода системы из состояния m в состояние n за единицу времени.

В системе, описываемой одношаговыми процессами, возможны два вида перехода системы из одного состояния в другое, происходящие в результате взаимодействия элементов в прямом направлении ($\varphi^i + r_j^{i\alpha} \varphi^j$) с вероятностью ${}^+ s_{\underline{\alpha}}(\varphi^k)$ и в обратном направлении ($\varphi^i - r_j^{i\alpha} \varphi^j$) с вероятностью ${}^- s_{\underline{\alpha}}(\varphi^k)$ (рис. 1). А матрица вероятностей переходов может быть записана в виде:

$$w_{\underline{\alpha}}(\varphi^i | \psi^i, t) = {}^+ s_{\underline{\alpha}} \delta_{\varphi^i, \psi^i+1} + {}^- s_{\underline{\alpha}} \delta_{\varphi^i, \psi^i-1}, \quad \underline{\alpha} = \overline{1, s},$$

где $\delta_{i,j}$ — символ Кронекера.

Таким образом, общий вид основного кинетического уравнения (5) для вектора состояний φ^i , изменяющегося шагами длины $r_j^{i\alpha} \varphi^j$, принимает вид:

$$\begin{aligned} \frac{\partial p(\varphi^i, t)}{\partial t} = & \sum_{\underline{\alpha}=1}^s \left\{ {}^- s_{\underline{\alpha}}(\varphi^i + r^{i\alpha}, t) p(\varphi^i + r^{i\alpha}, t) + \right. \\ & + {}^+ s_{\underline{\alpha}}(\varphi^i - r^{i\alpha}, t) p(\varphi^i - r^{i\alpha}, t) - \\ & \left. - [{}^+ s_{\underline{\alpha}}(\varphi^i) + {}^- s_{\underline{\alpha}}(\varphi^i)] p(\varphi^i, t) \right\}. \end{aligned} \quad (6)$$

Получим функции ${}^+ s_{\underline{\alpha}}$ и ${}^- s_{\underline{\alpha}}$ для уравнения (6), исходя из комбинаторного подхода.

Интенсивности перехода в единицу времени ${}^+s_{\underline{\alpha}}$ и ${}^-s_{\underline{\alpha}}$ пропорциональны соответственно числу способов выбора числа размещений из φ^i по $I_{-\underline{\alpha}}^{i\underline{\alpha}}$ (обозначается как $A_{\varphi^i}^{I_{-\underline{\alpha}}^{i\underline{\alpha}}}$) и по $F_{-\underline{\alpha}}^{i\underline{\alpha}}$ (обозначается как $A_{\varphi^i}^{F_{-\underline{\alpha}}^{i\underline{\alpha}}}$) и определяются выражениями:

$$\begin{aligned} {}^+s_{\underline{\alpha}} &= {}^+k_{\underline{\alpha}} \prod_{i=1}^n A_{\varphi^i}^{I_{-\underline{\alpha}}^{i\underline{\alpha}}} = {}^+k_{\underline{\alpha}} \prod_{i=1}^n \frac{\varphi^i!}{(\varphi^i - I_{-\underline{\alpha}}^{i\underline{\alpha}})!}, \\ {}^-s_{\underline{\alpha}} &= {}^-k_{\underline{\alpha}} \prod_{i=1}^n A_{\varphi^i}^{F_{-\underline{\alpha}}^{i\underline{\alpha}}} = {}^-k_{\underline{\alpha}} \prod_{i=1}^n \frac{\varphi^i!}{(\varphi^i - F_{-\underline{\alpha}}^{i\underline{\alpha}})!}. \end{aligned} \quad (7)$$

C. Уравнение Фоккера–Планка

Уравнение Фоккера–Планка является частным случаем основного кинетического уравнения и может рассматриваться как его приближённая форма. Его можно получить путём разложения основного кинетического уравнения в ряд до членов второго порядка включительно. Для этого можно использовать разложение Крамерса–Мойала [1] (для простоты записано в одномерном случае):

$$\frac{\partial p(\varphi, t)}{\partial t} = \sum_{n=1}^{\infty} \frac{(-1)^n}{n!} \frac{\partial^n}{\partial \varphi^n} [\xi^n(\varphi) p(\varphi, t)], \quad (8)$$

где

$$\xi^n(\varphi) = \int_{-\infty}^{\infty} (\psi - \varphi)^n w(\psi | \varphi) d\psi.$$

Отбрасывая члены выше второго порядка, получаем уравнение Фоккера–Планка:

$$\frac{\partial p(\varphi, t)}{\partial t} = -\frac{\partial}{\partial \varphi} [A(\varphi)p(\varphi, t)] + \frac{\partial^2}{\partial \varphi^2} [B(\varphi)p(\varphi, t)],$$

или в многомерном случае:

$$\begin{aligned} \frac{\partial p(\varphi^k, t)}{\partial t} &= -\frac{\partial}{\partial \varphi^i} [A^i(\varphi^k)p(\varphi^k, t)] + \\ &\quad + \frac{1}{2} \frac{\partial^2}{\partial \varphi^i \partial \varphi^j} [B^{ij}(\varphi^k)p(\varphi^k, t)], \end{aligned} \quad (9)$$

где

$$\begin{aligned} A^i &:= A^i(\varphi^k) = r_{\text{fp}}^{i\underline{\alpha}} \left[{}^+_s_{\underline{\alpha}} - {}^-s_{\underline{\alpha}} \right], \\ B^{ij} &:= B^{ij}(\varphi^k) = r_{\text{fp}}^{i\underline{\alpha}} r_{\text{fp}}^{j\underline{\alpha}} \left[{}^+_s_{\underline{\alpha}} - {}^-s_{\underline{\alpha}} \right]. \end{aligned} \quad (10)$$

В результате разложения Крамерса–Мойала можно в (7) заменить комбинации типа $\varphi(\varphi-1)\cdots(\varphi-(n-1))$ на $(\varphi)^n$, получим для уравнения Фоккера–Планка:

$$\begin{aligned} {}^+_s_{\underline{\alpha}} &= {}^+k_{\underline{\alpha}} \prod_{i=1}^n (\varphi^i)^{I_{-\underline{\alpha}}^{i\underline{\alpha}}}, \\ {}^-s_{\underline{\alpha}} &= {}^-k_{\underline{\alpha}} \prod_{i=1}^n (\varphi^i)^{F_{-\underline{\alpha}}^{i\underline{\alpha}}}. \end{aligned} \quad (11)$$

Как видно из (10), коэффициенты уравнения Фоккера–Планка можно получить сразу из (2) и (7), то есть в данном случае записывать основное кинетическое уравнение нет необходимости.

D. Уравнение Ланжевена

Уравнению Фоккера–Планка соответствует уравнение Ланжевена:

$$d\varphi^i = a^i dt + b_a^i dW^a, \quad (12)$$

где $a^i := a^i(\varphi^k)$, $b_a^i := b_a^i(\varphi^k)$, $\varphi^i \in \mathbb{R}^n$ — вектор состояний системы, $W^a \in \mathbb{R}^m$ — m -мерный винеровский процесс. Винеровский процесс реализуется как $dW = \varepsilon \sqrt{dt}$, где $\varepsilon \sim N(0, 1)$ — нормальное распределение со средним 0 и дисперсией 1. Здесь латинскими индексами из середины алфавита обозначаются величины, относящиеся к векторам состояний (размерность пространства n), а латинскими индексами из начала алфавита обозначаются величины, относящиеся к вектору винеровского процесса (размерность пространства $m \leq n$).

При этом связь между коэффициентами уравнений (9) и (12) выражается следующими соотношениями:

$$A^i = a^i, \quad B^{ij} = b_a^i b^{ja}. \quad (13)$$

Видно, что второй член уравнения Ланжевена представляет из себя квадратный корень, который имеет сложный вид в многомерном случае. Впрочем заметим, что во многих соотношениях используется именно квадрат второго члена уравнения Ланжевена, так что явное вычисление корня зачастую и не требуется.

IV. РЕАЛИЗАЦИЯ МОДЕЛИ ОДНОШАГОВЫХ СТОХАСТИЧЕСКИХ ПРОЦЕССОВ В СИСТЕМЕ КОМПЬЮТЕРНОЙ АЛГЕБРЫ

A. Обоснование выбора системы компьютерной алгебры

При реализации рассмотренных алгоритмов перед нами всталась задача выбора системы компьютерной алгебры. Наши потребности вполне укладываются в требования к универсальной системе компьютерной алгебры, но спектр таких систем весьма широк. Поэтому приведём наши критерии выбора:

- Система должна быть свободно распространяемой. Можно считать это нашим *profession de foi*.
- Взаимодействие с системой должно быть итеративным. В ней должна быть реализована парадигма REPL (Read–Eval–Print Loop).

- Желательно, чтобы система поддерживалась и развивалась некоторым сообществом разработчиков. Неприятно создавать продукт на языке, который в скором времени окажется мёртвым.
- Символьные вычисления — лишь один из этапов методики. Полученные уравнения необходимо исследовать чаще всего численными методами. Поэтому необходимо иметь возможность различных форматов вывода результатов. А ещё лучше, иметь возможность бесплатно интегрировать искомую систему с другими программными продуктами.
- Также было бы удобно иметь реализацию численных методов в рамках системы компьютерной алгебры.

Выбор универсальных свободных систем компьютерной алгебры не так уж и велик. Рассмотрим несколько основных претендентов.

Система Maxima [14, 15] — классическая система, однако застывшая в своём развитии в конце 90-х. Новые версии выпускаются часто. При этом они лишь увеличивают стабильность, исправляют ошибки. Добавление новых возможностей идёт крайне медленно. Кроме того, возможность взаимодействия с другими программами ограничена.

Система Axiom [16, 17] выделяется математическим подходом к компьютерной алгебре. Она поддерживает систему типов Хиндли–Милнера [18, 19], обладает великолепным внутренним языком расширения. Но из-за неразрешённых проблем с копирайтом систему лихорадит. Образовалось несколько форков. Каждый вариант имеет свою идеологию, свои планы развития. Чем и когда всё это закончится — не понятно. Да и интероперабельность фактически отсутствует.

Наиболее интересной для нас является система SymPy [20, 21]. Эта система появилась как библиотека символьных вычислений для языка Python. Но язык Python стал универсальным языковым kleem (достаточно неожиданно). Применение его в разнообразных проектах привело к взрывному росту сопутствующих средств и библиотек. Поэтому и SymPy развивался вместе с ним. Теперь это достаточно мощная система компьютерной алгебры. Причём большая часть необходимых нам критериев проистекают не из собственно системы SymPy, а из окружающих её библиотек.

Получается, что SymPy удовлетворяет всем нашим критериям:

- В качестве интерактивной оболочки удобно использовать блокнот Jupyter, являющийся компонентом системы iPython [22], реализующей идеологию REPL.
- Язык Python фактически используется как соединительный язык, своего рода язык-клей, который позволяет интегрировать между собой разные программные продукты. Кроме того, в рамках

библиотеки SciPy [23] поддерживается большое число выходных форматов.

- Выходные данные SymPy возможно естественным образом передать для численных расчётов в библиотеку NumPy [24].

Таким образом, мы остановились в своём выборе на системе SymPy для реализации метода стохастизации одношаговых процессов.

B. Программная реализации алгоритма стохастизации

Алгоритм получения стохастического дифференциального уравнения из схемы взаимодействия (алгоритмы 2 и 3) реализован как последовательность операций над векторными данными. Исходными данными являются схемы взаимодействия, представленные в следующем виде:

- символный вектор X представляет собой вектор состояния системы φ ;
- символный вектор K представляет собой интенсивности взаимодействия ${}^+k_{\underline{\alpha}}, {}^-k_{\underline{\alpha}}$ (1);
- числовые матрицы I и F представляют собой начальное и конечное состояния (4).

Основные вычисления реализованы в виде четырёх функций.

Первая функция просто реализует нахождение элемента $\frac{\varphi^i!}{(\varphi^i - I^{i\underline{\alpha}})!}$ (7):

```
def P(x, n):
    """x is a symbol, n is an integer"""
    return sp.prod([x-i for i in range(n)])
```

Следующая функция использует предыдущую для вычисления ${}^+s_{\underline{\alpha}}$ и ${}^-s_{\underline{\alpha}}$, в качестве аргументов здесь передаются символьные векторы $X = (x^1, x^2, \dots, x^n)^T$ и $K = ({}^-k_1, \dots, {}^-k_s)$, а в качестве результата возвращается список ${}^+s_1, \dots, {}^+s_s$ (приведён код только для прямых реакций):

```
def S(X, K, I):
    res = []
    for i in range(len(K)):
        # Compute the elements of the product
        Ps = [P(x, int(n)) for (x, n) in zip(X, I[i, :])]
        # Find the product itself
        res.append(K[i]* sp.prod(Ps))
    # Obtain the list [s_1, s_2, s_3, ..., s_s]
    return res
```

Следующие функции — основные функции алгоритма: для получения вектора сноса `drift_vector(X, K, I, F)` и матрицы диффузии `diffusion_matrix(X, K, I, F)` в символьном формате SymPy:

```

def drift_vector(X, K, I, F):
    """Drift vector"""
    res = sp.zeros(r=len(X), c=1)
    R = F.T - I.T
    for i in range(len(K)):
        res += R[:, i] * S(X, K, I)[i]
    return res

def diffusion_matrix(X, K, I, F):
    """Diffusion matrix"""
    res = sp.zeros(r=len(X), c=len(X))
    R = F.T - I.T
    R = sp.Matrix(R)
    for i in range(len(K)):
        res += R[:, i] * R[:, i].T * S(X, K, I)[i]
    return res

```

Результаты работы программы можно экспортировать в формат \LaTeX . Можно воспользоваться встроенным методами, которые позволяют преобразовать A^i и B^{ij} в код \LaTeX . Для этого достаточно вызвать комбинацию функций `print(sympy.latex(A))`, где в переменной `A` содержится результат работы функции `drift_vector`, а функция `latex()` экспортирует его в \LaTeX -код.

При использовании интерактивной оболочки *Jupyter* необходимо предварительно настроить корректное отображение нотации \TeX . Для этого вначале *Jupyter*-блокнота следует импортировать модуль `Latex`:

```
from IPython.display import Latex
```

и вызвать функцию

```
sympy.init_printing(use_unicode=True)
```

Кроме того, можно экспортировать получившиеся выражения в формат, соответствующий синтаксису большого спектра языков программирования. Поддерживаются как универсальные языки программирования (*C/C++*, *Fortran*), так и проблемно-специфичные (*Mathematica*, *Julia*). Данные функции доступны как методы класса `sympy.printing`. Например, результатом работы следующего кода будет *C++*-функция `vector<double> f(vector<double> x)`:

```

print("""vector<double> f(vector<double> x) {{
    vector<double> res = {{ {0} }};
    return res;
}}""".format(" ", ".join([sp.printing.ccode(f) for   ←
    f in f])))

```

C. Пример реализации. Модель Ферхольста

Для демонстрации метода рассмотрим модель Ферхольста [25–27]. В популяционной динамике эта модель описывает ограниченный рост популяции.

Детерминистическая модель имеет следующий вид:

$$\dot{\varphi} = \lambda\varphi - \beta\varphi - \gamma\varphi^2, \quad (14)$$

где λ — коэффициент интенсивности размножения, β — коэффициент интенсивности вымирания, γ — коэффициент интенсивности уменьшения популяции.

На основании (14) запишем схему взаимодействия (3):

$$\begin{aligned} \varphi &\xrightarrow[\gamma]{\lambda} 2\varphi, \\ 0 &\xleftarrow[\beta]{\varphi} \varphi. \end{aligned} \quad (15)$$

Первое прямое соотношение (15) означает репродукцию особи, первое обратное соотношение — соперничество между особями. Второе соотношение описывает гибель особи.

Данная модель одномерна ($n = 1$). Количество взаимодействий s равно 2.

Из (15) запишем матрицы $I_{-}^{i\alpha}$ и $F_{-}^{i\alpha}$:

$$I_{-}^{i\alpha} = \begin{pmatrix} 1 \\ 1 \end{pmatrix}, \quad F_{-}^{i\alpha} = \begin{pmatrix} 2 \\ 0 \end{pmatrix}.$$

В программу передаются следующие значения:

```

I = sp.Matrix([[1], [1]])
F = sp.Matrix([[2], [0]])
X = sp.Matrix(['phi'])
K = sp.Matrix(['k_{0}'.format(i+1) for i in range(2)])

```

Поскольку задача одномерна, то вектор сноса и матрица диффузии являются скалярами:

$$\begin{aligned} A(\varphi) &= \lambda\varphi - \beta\varphi - \gamma\varphi^2, \\ B(\varphi) &= \lambda\varphi + \beta\varphi - \gamma\varphi^2. \end{aligned}$$

Стохастическое дифференциальное уравнение, соответствующее уравнению (14), будет иметь вид:

$$d\varphi(t) = (\lambda\varphi - \beta\varphi - \gamma\varphi^2) dt + \sqrt{(\lambda\varphi + \beta\varphi - \gamma\varphi^2)} dW(t).$$

Таким образом мы достигли своей цели — модель стохастизирована. Следует заметить, что даже такая простая одномерная модель при ручных расчётах является достаточно трудоёмкой.

D. Пример реализации. Модель «хищник–жертва»

Системы, описывающие взаимодействие двух видов популяций типа «хищник–жертва», широко исследованы, и для таких систем существует большое количество разнообразных моделей. Самой первой моделью «хищник–жертва» принято считать модель, полученную независимо друг от друга А. Лоткой [28, 29] и В. Вольтеррой [30].

Детерминистическую систему можно записать в следующем виде:

$$\begin{cases} \dot{x} = k_1x - k_2xy, \\ \dot{y} = k_2xy - k_3y, \end{cases} \quad (16)$$

где x , y — взаимодействующие сущности (x — жертва, y — хищник), коэффициенты k_1, k_2, k_3 — интенсивности взаимодействия.

Введём вектор состояний $\varphi^i = (x, y)^T$. На основании (16) запишем схему взаимодействия (3):

$$\begin{aligned} x &\xrightarrow{k_1} 2x, \\ x + y &\xrightarrow{k_2} 2y, \\ y &\xrightarrow{k_3} 0. \end{aligned} \quad (17)$$

Схема (17) имеет стандартную интерпретацию. Первое соотношение означает, что жертва, которая съедает единицу пищи, немедленно репродуцируется. Второе соотношение описывает поглощение жертвы хищником и мгновенное репродуцирование хищника. Это единственная рассматриваемая возможность гибели жертвы. Последнее соотношение — это естественная смерть хищника.

Для данной модели размерность системы n равна 2, количество взаимодействий s равно 3.

Из (17) запишем матрицы $I_{\pm}^{i\alpha}$ и $F_{\pm}^{i\alpha}$:

$$I_{\pm}^{i\alpha} = \begin{pmatrix} 1 & 0 \\ 1 & 1 \\ 0 & 1 \end{pmatrix}, \quad F_{\pm}^{i\alpha} = \begin{pmatrix} 2 & 0 \\ 0 & 2 \\ 0 & 0 \end{pmatrix}.$$

В программу передаются следующие значения:

```
I = sp.Matrix([[1, 1, 0], [0, 1, 1]])
F = sp.Matrix([[2, 0, 0], [0, 2, 0]])
X = sp.Matrix(['x', 'y'])
K = sp.Matrix(['k_{0}' .format(i+1) for i in range(3)])
```

В результате будут вычислены вектор сноса и матрица диффузии

$$\begin{aligned} A^i(x, y) &= \begin{pmatrix} k_1 x - k_2 x y \\ k_2 x y - k_3 y \end{pmatrix}, \\ B^{\pm j}(x, y) &= \begin{pmatrix} k_1 x + k_2 x y & -k_2 x y \\ -k_2 x y & k_2 x y + k_3 y \end{pmatrix}. \end{aligned}$$

Эти соотношения позволяют записать непосредственно уравнение Фоккера–Планка и соответствующее ему стохастическое дифференциальное уравнение. Для этого достаточно извлечь квадратный корень из матрицы $B^{\pm j}$:

$$\begin{aligned} d \begin{pmatrix} x \\ y \end{pmatrix} &= \begin{pmatrix} k_1 x - k_2 x y \\ k_2 x y - k_3 y \end{pmatrix} dt + b_a^i \begin{pmatrix} dW^1 \\ dW^2 \end{pmatrix}, \\ b_a^i b^j a &= B^{\pm j} = \begin{pmatrix} k_1 x + k_2 x y & -k_2 x y \\ -k_2 x y & k_2 x y + k_3 y \end{pmatrix}. \end{aligned} \quad (18)$$

- [1] Гардинер К. В. Стохастические методы в естественных науках. — Мир, 1986.
- [2] Ван-Кампен Н. Г. Стохастические процессы в физике и химии. — М. : Высшая школа, 1990.
- [3] Korolkova A. V., Eferina E. G., Laneev E. B., Gudkova I. A., Sevastianov L. A., Kulyabov D. S. Stochasticization Of One-Step Processes In The Occupations Number Representation // Proceedings 30th European Conference

Отсюда видно, что детерминистическая часть системы (18) совпадает с исходной системой (16). Поскольку операция извлечения корня из матрицы в аналитическом виде представляет из себя достаточно сложную задачу, исследование этой системы оптимальнее проводить численно.

V. ЗАКЛЮЧЕНИЕ

Исследовательская работа часто носит итеративный характер. Результаты вычислений оцениваются по определённым критериям. Эти действия приходится выполнять многократно. Системы компьютерной алгебры позволяют автоматизировать этот процесс.

В данной работе рассмотрена простейшая реализация алгоритма стохастизации одноступенчатых процессов по заданным схемам взаимодействия. Для этого был проведён анализ систем компьютерной алгебры на основе предложенных авторами критериев. В соответствии с этими критериями в качестве системы компьютерной алгебры для реализации метода выбрана система *SymPy*. Приведены существенные элементы кода реализации метода стохастизации одноступенчатых процессов. Работа программного комплекса продемонстрирована на примере двух моделей: модели Ферхольста и модели Лотки–Вольтерры.

При всей своей кажущейся простоте данный программный продукт резко увеличивает производительность труда исследователя. Можно сделать вывод, что системы компьютерной алгебры, наряду с системами численных расчётов, стали необходимым инструментом исследователя.

БЛАГОДАРНОСТИ

Работа частично поддержана грантами РФФИ № 15-07-08795, 16-07-00556. Также публикация подготовлена при поддержке программы РУДН «5-100».

on Modelling and Simulation. — 2016. — jun. — P. 698–704.

- [4] Eferina E. G., Hnatich M., Korolkova A. V., Kulyabov D. S., Sevastianov L. A., Velieva T. R. Diagram Representation for the Stochasticization of Single-Step Processes // Distributed Computer and Communication Networks. DCCN 2016. Communications in Computer and Information Science / Ed. by V. M. Vishnevskiy,

- K. E. Samouylov, D. V. Kozyrev. — Cham : Springer, 2016. — Vol. 678. — P. 483–497.
- [5] Hnatič M., Eferina E. G., Korolkova A. V., Kulyabov D. S., Sevastyanov L. A. Operator Approach to the Master Equation for the One-Step Process // EPJ Web of Conferences. — 2015. — Vol. 108. — P. 58–59. — arXiv : 1603.02205.
- [6] Gevorkyan M. N., Demidova A. V., Zaryadov I. S., Sobolewski R., Korolkova A. V., Kulyabov D. S., Sevastianov L. A. Approaches to Stochastic Modeling of Wind Turbines // Proceedings 31st European Conference on Modelling and Simulation, ECMS 2017 / Ed. by K. Varadi, A. Vidovics-Dancs, J. P. Radics, Z. Z. Paprika, P. T. Zwierczyk, P. Horak. — Budapest : European Council for Modelling and Simulation, 2017. — may. — P. 622–627.
- [7] Gevorkyan M. N., Velieva T. R., Korolkova A. V., Kulyabov D. S., Sevastyanov L. A. Stochastic Runge–Kutta Software Package for Stochastic Differential Equations // Dependability Engineering and Complex Systems. — Springer International Publishing, 2016. — Vol. 470. — P. 169–179. — arXiv : 1606.06604.
- [8] Grassberger P., Scheunert M. Fock-Space Methods for Identical Classical Objects // Fortschritte der Physik. — 1980. — Vol. 28, no. 10. — P. 547–578.
- [9] Täuber U. C. Field-Theory Approaches to Nonequilibrium Dynamics // Ageing and the Glass Transition. — Berlin, Heidelberg : Springer Berlin Heidelberg, 2005. — Vol. 716. — P. 295–348. — arXiv : 0511743.
- [10] Janssen H.-K., Täuber U. C. The field theory approach to percolation processes // Annals of Physics. — 2005. — jan. — Vol. 315, no. 1. — P. 147–192. — arXiv : 0409670.
- [11] Mobilia M., Georgiev I. T., Täuber U. C. Fluctuations and correlations in lattice models for predator-prey interaction // Physical Review E. — 2006. — apr. — Vol. 73, no. 4. — P. 040903. — arXiv : 0508043.
- [12] Пенроуз Р., Ринделер В. Спиноры и пространство-время. Два-спинорное исчисление и релятивистские поля. — Москва : Мир, 1987. — Т. 1. — С. 527.
- [13] Demidova A. V., Korolkova A. V., Kulyabov D. S., Sevastyanov L. A. The Method of Constructing Models of Peer to Peer Protocols // 6th International Congress on Ultra Modern Telecommunications and Control Systems and Workshops (ICUMT). — IEEE Computer Society, 2015. — P. 557–562. — arXiv : 1504.00576.
- [14] Bainov D. D., Hristova S. G. Differential Equations with Maxima. Pure and Applied Mathematics. — Chapman and Hall/CRC, 2011. — apr. — P. x+291.
- [15] Timberlake T. K., Mixon J. W. Classical Mechanics with Maxima. Undergraduate Lecture Notes in Physics. — New York, NY : Springer New York, 2016. — P. xi+258.
- [16] Jenks R. D., Sutor R. S. AXIOM: The Scientific Computation System. — 1992. — P. xxiv + 742.
- [17] Eferina E. G., Korolkova A. V., Gevorkyan M. N., Kulyabov D. S., Sevastyanov L. A. One-Step Stochastic Processes Simulation Software Package // Bulletin of Peoples' Friendship University of Russia. Series "Mathematics. Information Sciences. Physics". — 2014. — no. 3. — P. 46–59. — arXiv : 1503.07342.
- [18] Hindley R. The Principal Type-Scheme of an Object in Combinatory Logic // Transactions of the American Mathematical Society. — 1969. — Vol. 146, no. December. — P. 29–29.
- [19] Milner R. A Theory of Type Polymorphism in Programming // Journal of Computer and System Sciences. — 1978. — dec. — Vol. 17, no. 3. — P. 348–375.
- [20] Lamy R. Instant SymPy Starter. — Packt Publishing, 2013. — P. 52.
- [21] Eferina E. G., Kulyabov D. S. Implementation of Diagram Technique for Statistical Systems in Sympy // 6th International conference "Problems of Mathematical Phisics and Mathematical Modelling". — Moscow : NRNU MEPhI, 2017. — may. — P. 125–127.
- [22] Perez F., Granger B. E. IPython: A System for Interactive Scientific Computing // Computing in Science & Engineering. — 2007. — Vol. 9, no. 3. — P. 21–29.
- [23] Oliphant T. E. Python for Scientific Computing // Computing in Science & Engineering. — 2007. — Vol. 9, no. 3. — P. 10–20.
- [24] Oliphant T. E. Guide to NumPy. — 2 edition edition. — CreateSpace Independent Publishing Platform, 2015. — P. 364.
- [25] Verhulst P. F. Notice sur la loi que la population suit dans son accroissement. — 1838. — Vol. 10. — P. 113–117.
- [26] Feller W. Die Grundlagen der Volterrassen Theorie des Kampfes ums Dasein in wahrscheinlichkeitstheoretischer Behandlung // Acta Biotheoretica. — 1939. — Bd. 5, H. 1. — S. 11–40.
- [27] Feller W. On the theory of stochastic processes, with particular reference to applications // Proceedings of the [First] Berkeley Symposium on Mathematical Statistics and Probability. — 1949. — P. 403–432.
- [28] Lotka A. J. Contribution to the Theory of Periodic Reaction // The Journal of Physical Chemistry A. — 1910. — Vol. 14, no. 3. — P. 271–274.
- [29] Lotka A. J. Elements of Physical Biology // Williams and Wilkins Company. — 1925. — P. 435.
- [30] Volterra V. Variations and fluctuations of the number of individuals in animal species living together // Journal du Conseil permanent International pour l' Exploration de la Mer. — 1928. — Vol. 3, no. 1. — P. 3–51.